

第五章 数字滤波器的基本结构

- ◆ 5.1 数字滤波器结构的表示方法
- ◆ 5.2 无限长单位冲激响应（IIR）滤波器的基本结构
- ◆ 5.3 有限长单位冲激响应（FIR）滤波器的基本结构

5.1 数字滤波器结构的表示方法

数字滤波器的系统函数表示

$$H(z) = \frac{\sum_{k=0}^M b_k z^{-k}}{1 - \sum_{k=1}^N a_k z^{-k}} = \frac{Y(z)}{X(z)}$$

由上式所得系统输入输出关系的常系数线性差分方程

$$y(n) = \sum_{k=1}^N a_k y(n-k) + \sum_{k=0}^M b_k x(n-k)$$

◆ **数字滤波器的功能**就是把输入序列通过一定的运算变换成输出序列

◆ **实现数字滤波器方法：**

(1) 计算机软件

(2) 专用数字硬件、数字信号处理器及通用数字信号处理器

◆ **数字滤波器基本实现单元：**加法器、单位延时和常数加法器

◆ **基本单元表示法：**方框图法和信号流程图法

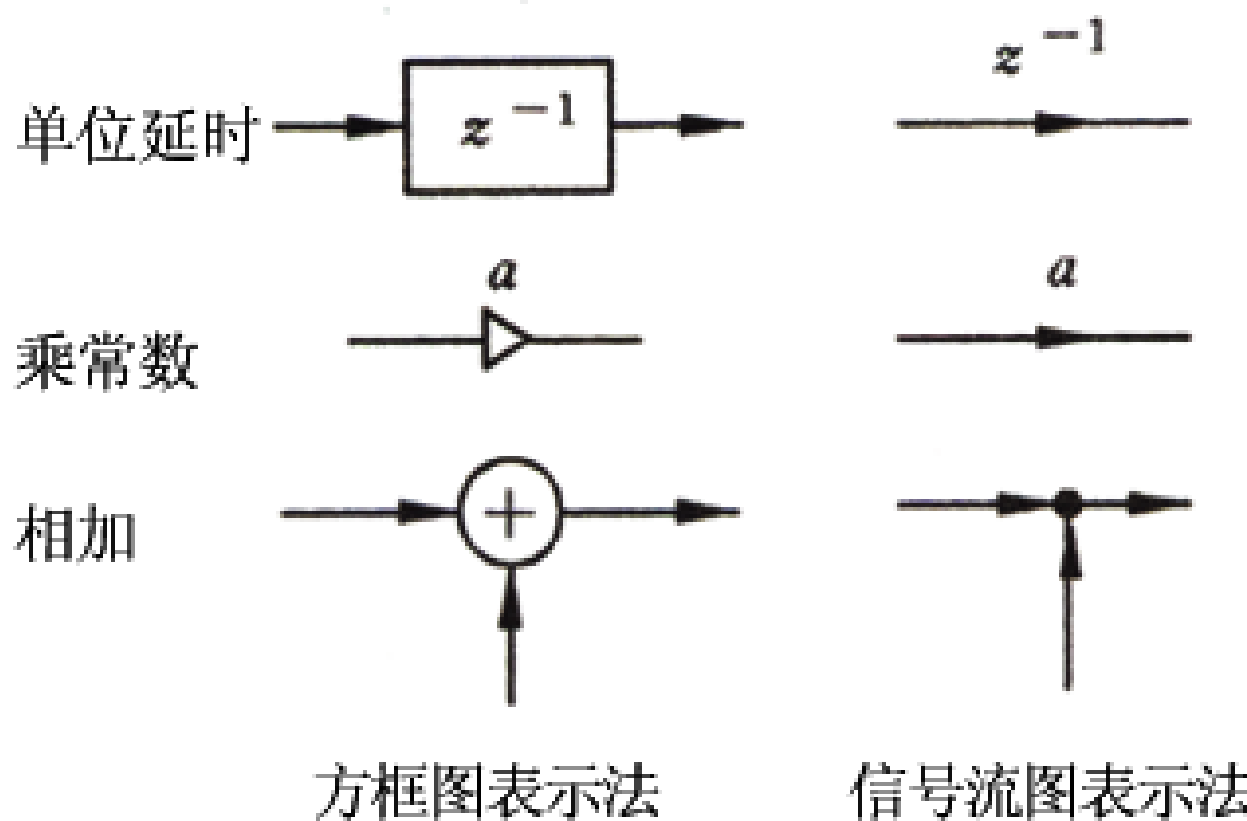
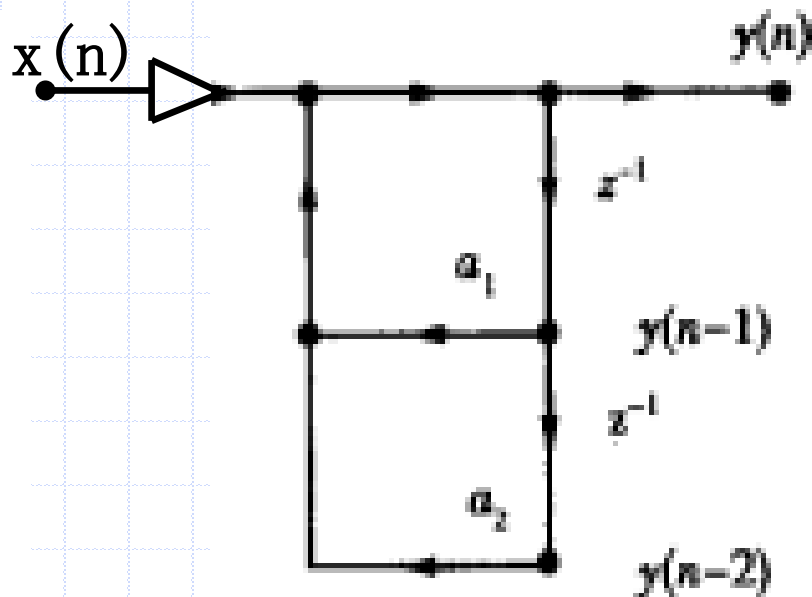
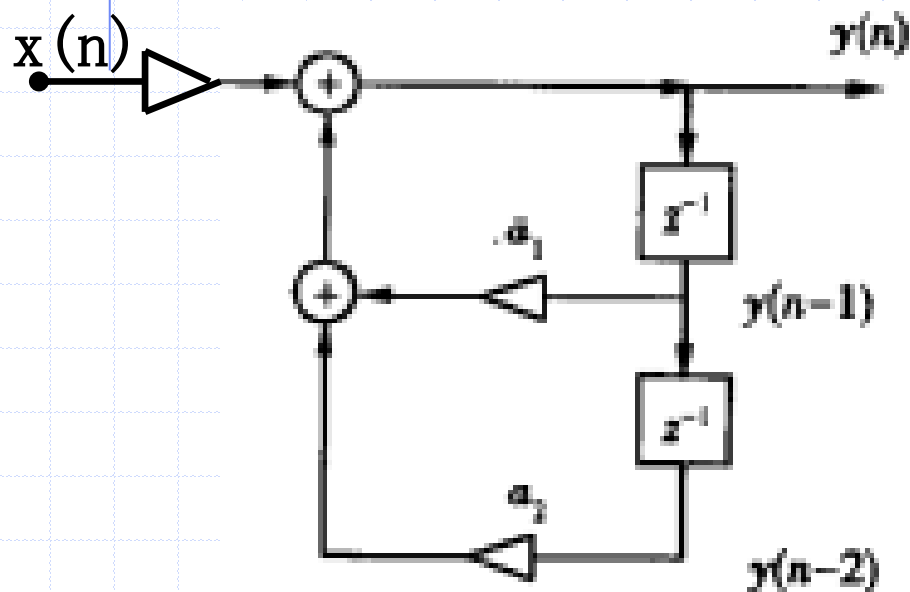


图5-1 基本运算的方框图表示及流图表示

例：二阶数字滤波器表示方法（常系数线性差分方程）

$$y(n] = a_1 y(n-1) + a_2 y(n-2) + b_0 x(n]$$



注意：

- (1) 本书都只采用信号流图来分析数字滤波器
- (2) 运算结构中，不同存储单元影响复杂性，乘法次数影响运算速度。不同运算结构的误差、稳定性是不同的。

5.2 无限长单位冲激响应 (IIR) 滤波器的基本结构

无限长单位冲激响应 (IIR) 特点:

- (1) 系统的单位冲激响应 $h(n)$ 是无限长的。
- (2) 系统函数 $H(z)$ 在有限 z 平面上有极点存在。
- (3) 结构上存在着输出到输入的反馈，即结构是递归的。

基本结构: 直接I型、直接II型、级联型和并联型

一、直接I型

系统输入输出关系的N阶差分方程

$$y(n) = \sum_{k=1}^N a_k y(n-k) + \sum_{k=0}^M b_k x(n-k)$$

构成直接I型特点:

- (1) $\sum_{k=0}^M b_k x(n-k)$ 表示将输入及延时后的输入组成M节的延时网络, 即横向延时网络, 实现零点。
- (2) $\sum_{k=1}^N a_k y(n-k)$ 表示输出及其延时组成N节延时网络, 实现极点。
- (3) 总的网络由上面两个网络级联而成。
- (4) 直接I型需要N+M级延时单元。

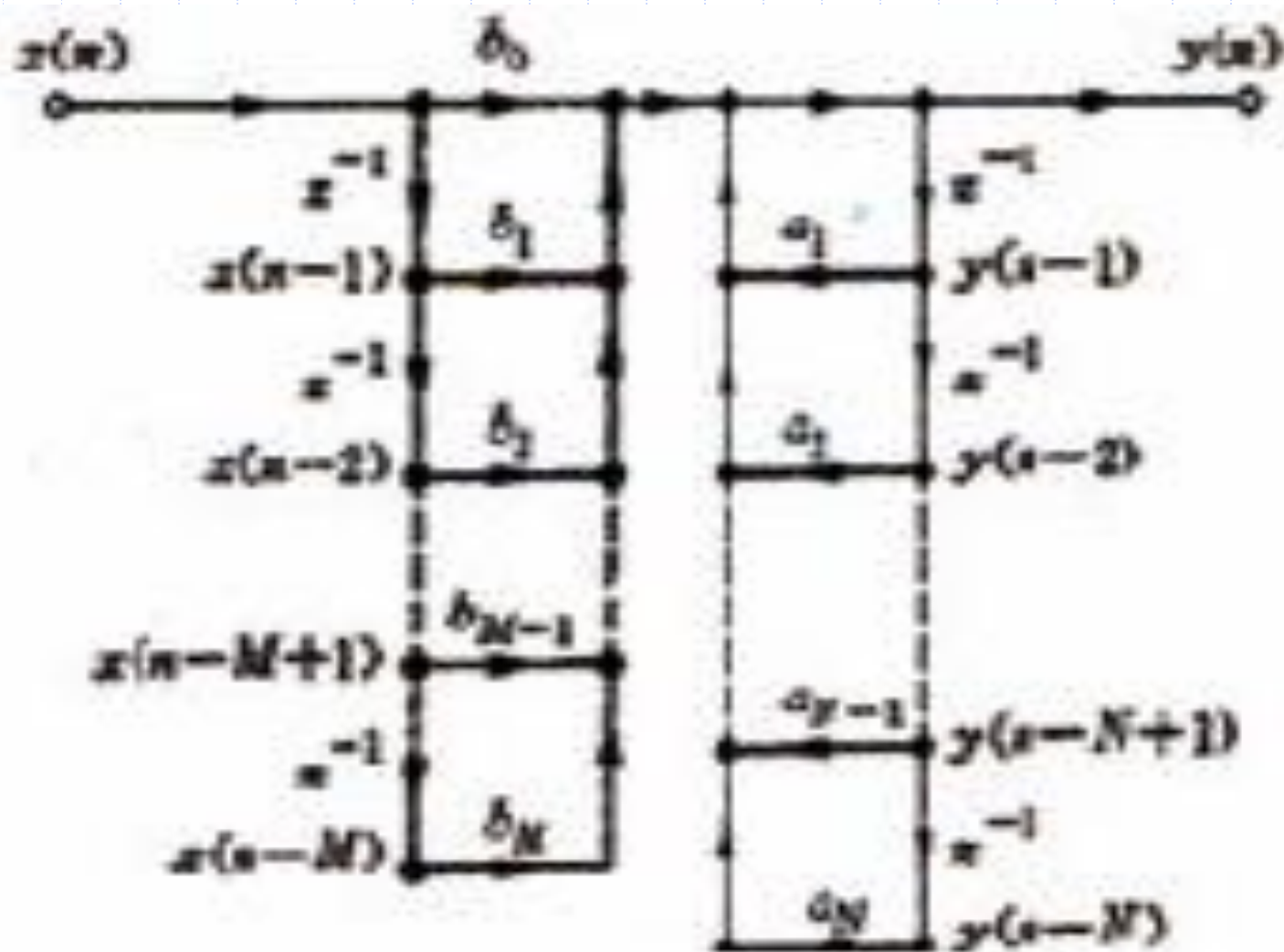


图 5.4 直接 I 型结构 FIR 滤波器

二、直接II型（典范型）

线性移不变系统，交换其级联的子系统的次序，系统函数不变，也就是总的输入输出关系不改变。

特点：

- (1) 只需 N 个延时单元，实现 N 阶滤波器所需要的最少延时单元。
- (2) 系数 a_k 、 b_k 对滤波器的性能控制作用不明显。
- (3) 极点对系数变化过于灵敏，从而使系统的频率响应对系数的变化敏感，容易出现不稳定或产生较大误差。

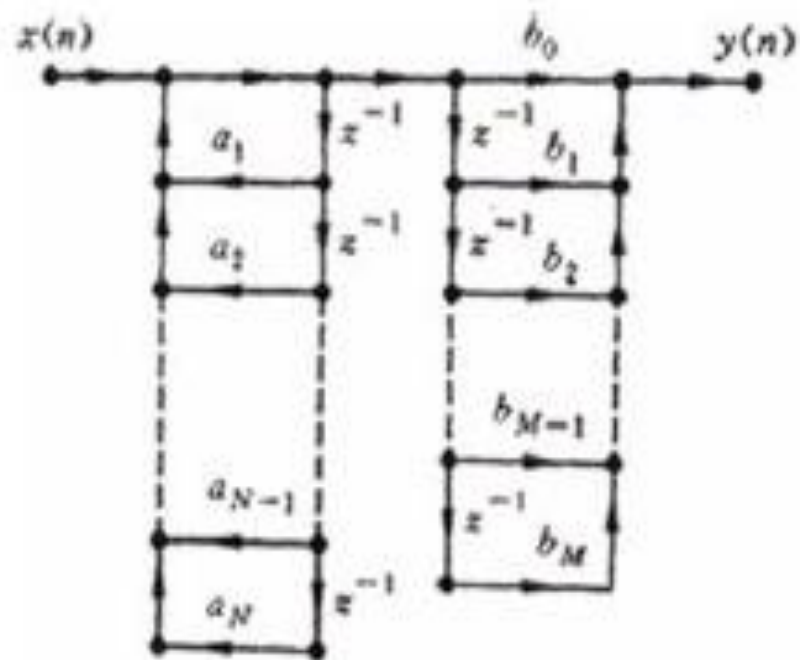


图 5.5 直接 I 型结构滤波器的变型
(网络的零点与极点的级联次序互换)

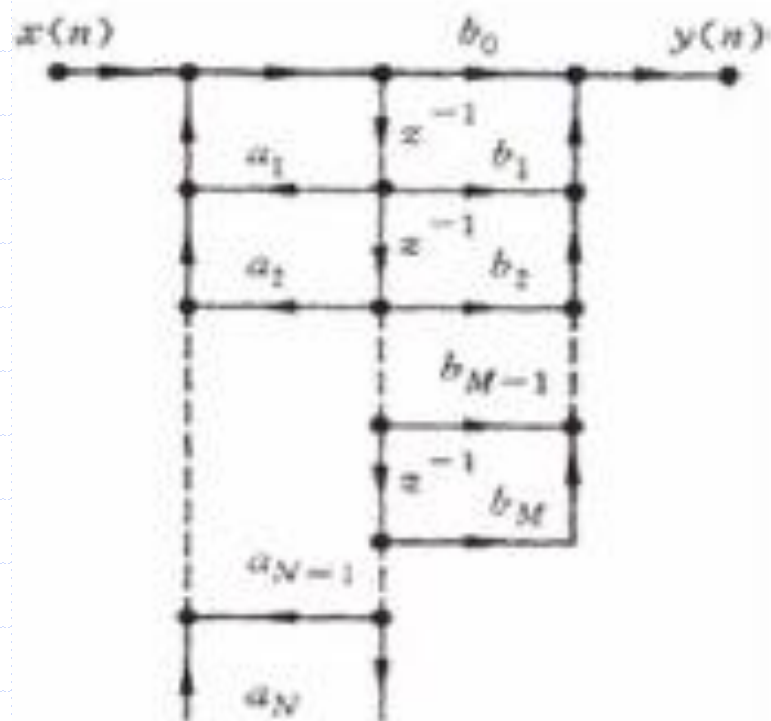


图 5.6 直接 II 型结构典型型结构

三、级联型

系统函数按零极点进行分解得

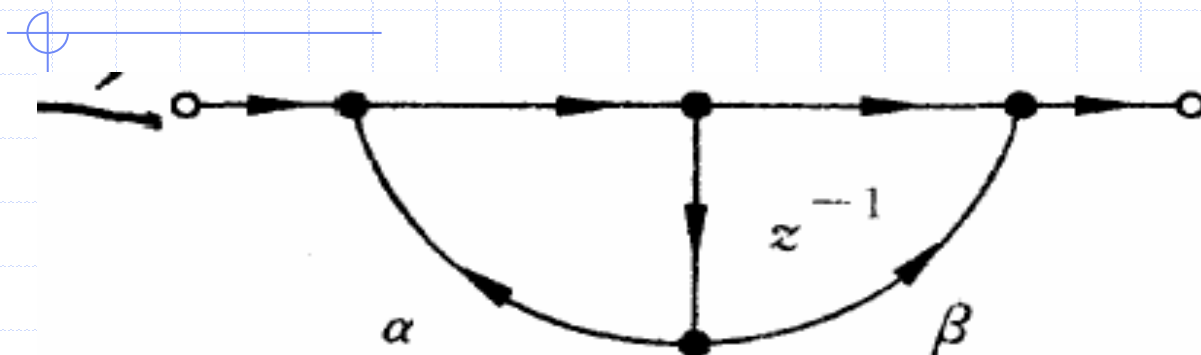
$$H(z) = \frac{\sum_{k=0}^M b_k z^{-k}}{1 - \sum_{k=1}^N a_k z^{-k}} = A \frac{\prod_{k=1}^{M_1} (1 - p_k z^{-1}) \prod_{k=1}^{M_2} (1 - q_k z^{-1})(1 - q_k^* z^{-1})}{\prod_{k=1}^{N_1} (1 - c_k z^{-1}) \prod_{k=1}^{N_2} (1 - d_k z^{-1})(1 - d_k^* z^{-1})}$$

把共轭因子组合成实系数的二阶因子

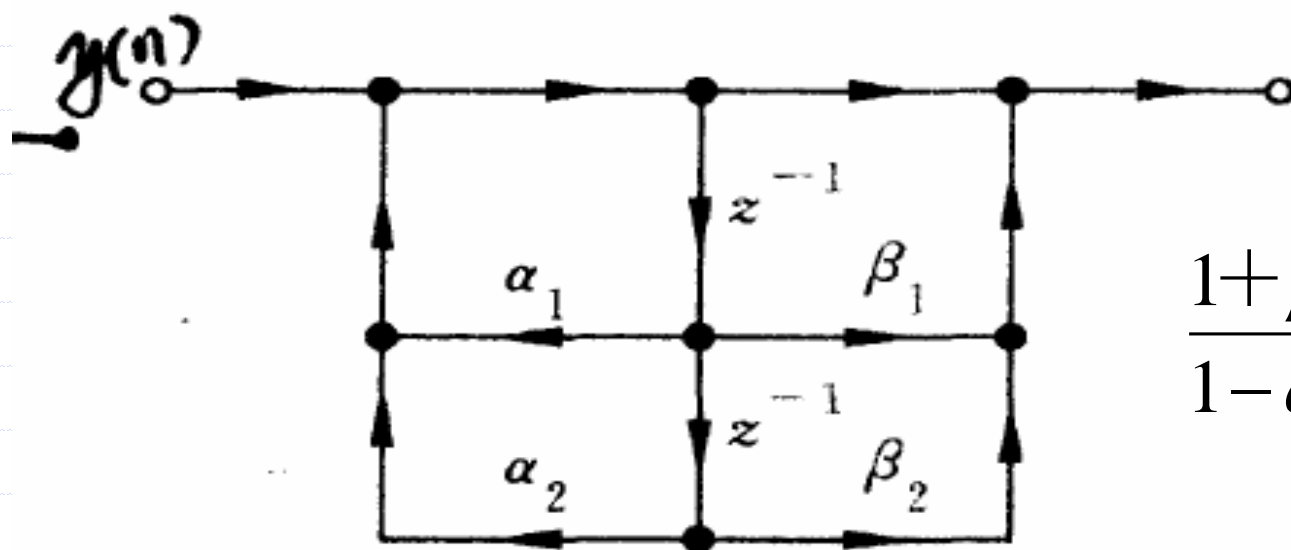
$$H(z) = A \frac{\prod_{k=1}^{M_1} (1 - p_k z^{-1}) \prod_{k=1}^{M_2} (1 + \beta_{1k} z^{-1} + \beta_{2k} z^{-2})}{\prod_{k=1}^{N_1} (1 - c_k z^{-1}) \prod_{k=1}^{N_2} (1 - \alpha_{1k} z^{-1} - \alpha_{2k} z^{-2})}$$

H(z) 完全分解成实系数的二阶因子形式

$$H(z) = A \prod_k \frac{1 + \beta_{1k} z^{-1} + \beta_{2k} z^{-2}}{1 - \alpha_{1k} z^{-1} - \alpha_{2k} z^{-2}} = A \prod_k H_k(z)$$



$$\frac{1 + \beta z^{-1}}{1 - \alpha z^{-1}}$$



$$\frac{1 + \beta_1 z^{-1} + \beta_2 z^{-2}}{1 - \alpha_1 z^{-1} - \alpha_2 z^{-2}}$$

7 级联结构的一阶基本节和二阶基本节结构

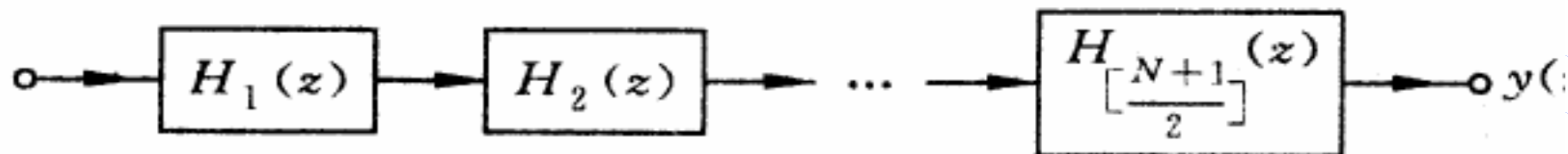


图 5-8 级联结构 ($M=N$)

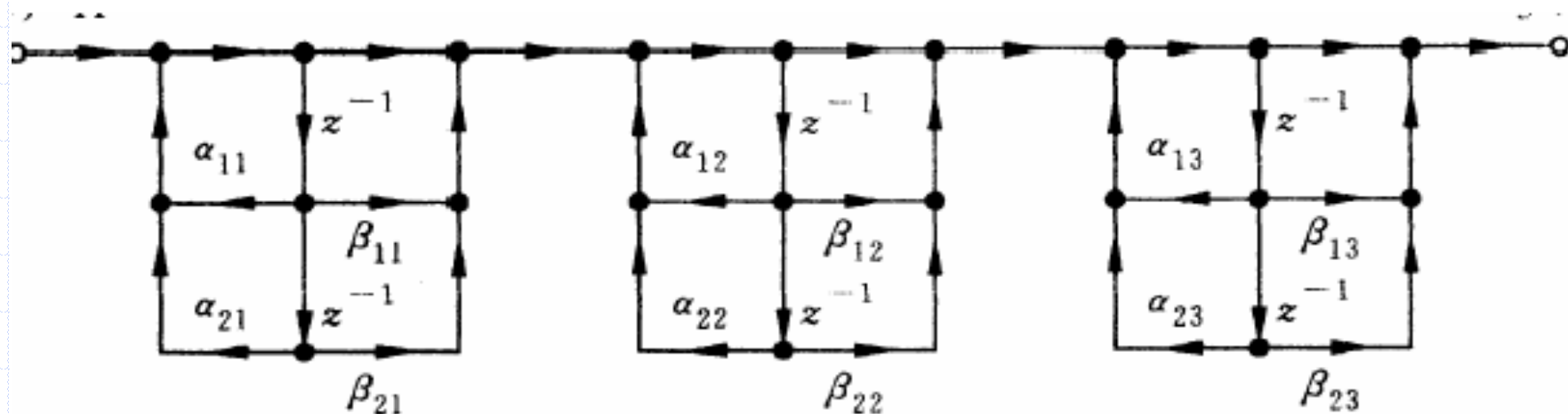


图 5-9 六阶 IIR 滤波器的级联结构

$$\frac{1 + \beta_{11}z^{-1} + \beta_{21}z^{-2}}{1 - \alpha_{11}z^{-1} - \alpha_{21}z^{-2}} \cdot \frac{1 + \beta_{12}z^{-1} + \beta_{22}z^{-2}}{1 - \alpha_{12}z^{-1} - \alpha_{22}z^{-2}} \cdot \frac{1 + \beta_{13}z^{-1} + \beta_{23}z^{-2}}{1 - \alpha_{13}z^{-1} - \alpha_{23}z^{-2}}$$

特点:

- (1) 调整一阶、二阶基本节的零极点不影响其它基本节, 便于调整滤波器频率响应特性。
- (2) 零、极点有不同的配对方式, 因此对于配合与排列次序有最优化问题。

四、并联型

将因式分解的 $H(z)$ 展成部分分式的形式，得到并联IIR的基本结构：

$$H(z) = \frac{\sum_{k=0}^M b_k z^{-k}}{1 - \sum_{k=1}^N a_k z^{-k}} = \sum_{k=1}^{N_1} \frac{A_k}{1 - c_k z^{-1}} + \sum_{k=1}^{N_2} \frac{B_k (1 - g_k z^{-1})}{(1 - d_k z^{-1})(1 - d_k^* z^{-1})} + \sum_{k=0}^{M-N} G_k z^{-k}$$

当 $M=N$ 时， $H(z)$ 表示为

$$H(z) = G_0 + \sum_{k=1}^{N_1} \frac{A_k}{1 - c_k z^{-1}} + \sum_{k=1}^{N_2} \frac{\gamma_{0k} + \gamma_{1k} z^{-1}}{1 - \alpha_{1k} z^{-1} - \alpha_{2k} z^{-2}}$$

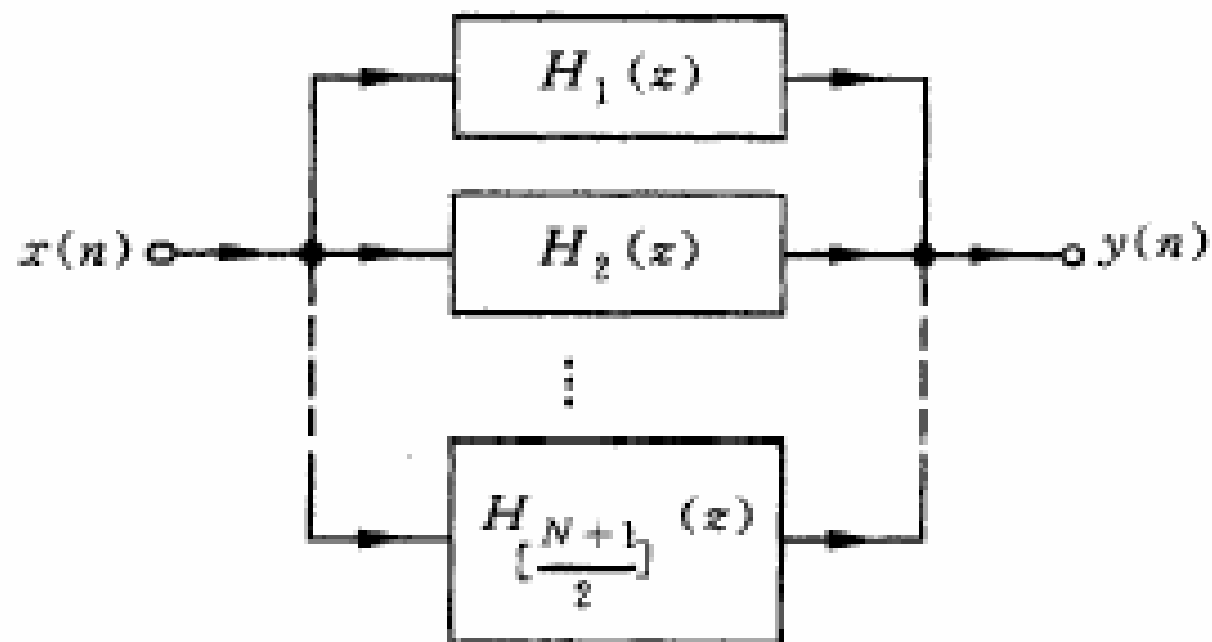
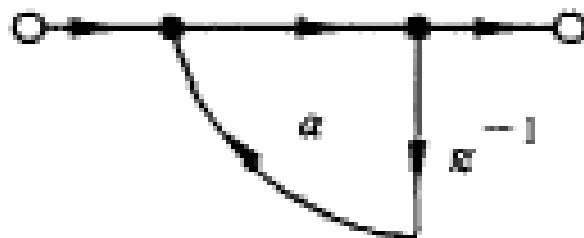
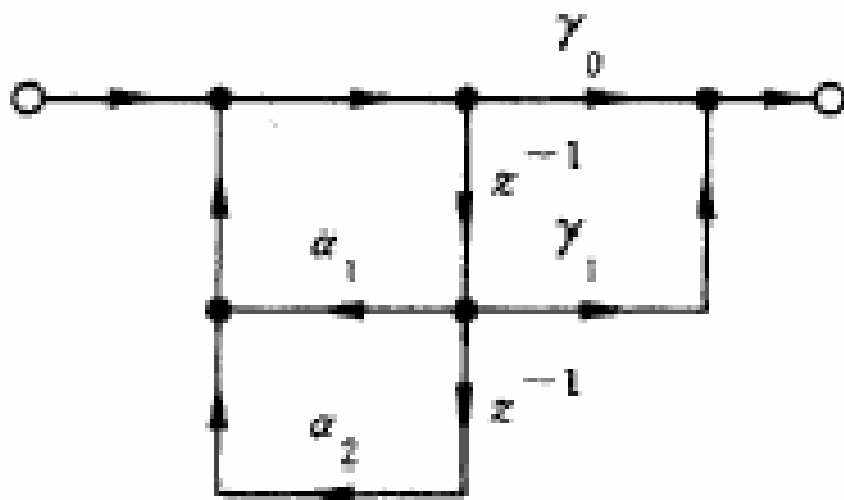


图 5-10 并联结构($M=N$)



$$\frac{1}{1 - \alpha z^{-1}}$$



$$\frac{r_0 + r_1 z^{-1}}{1 - a_1 z^{-1} - a_2 z^{-2}}$$

图5-11 并联结构的一阶基本节和二阶基本节结构

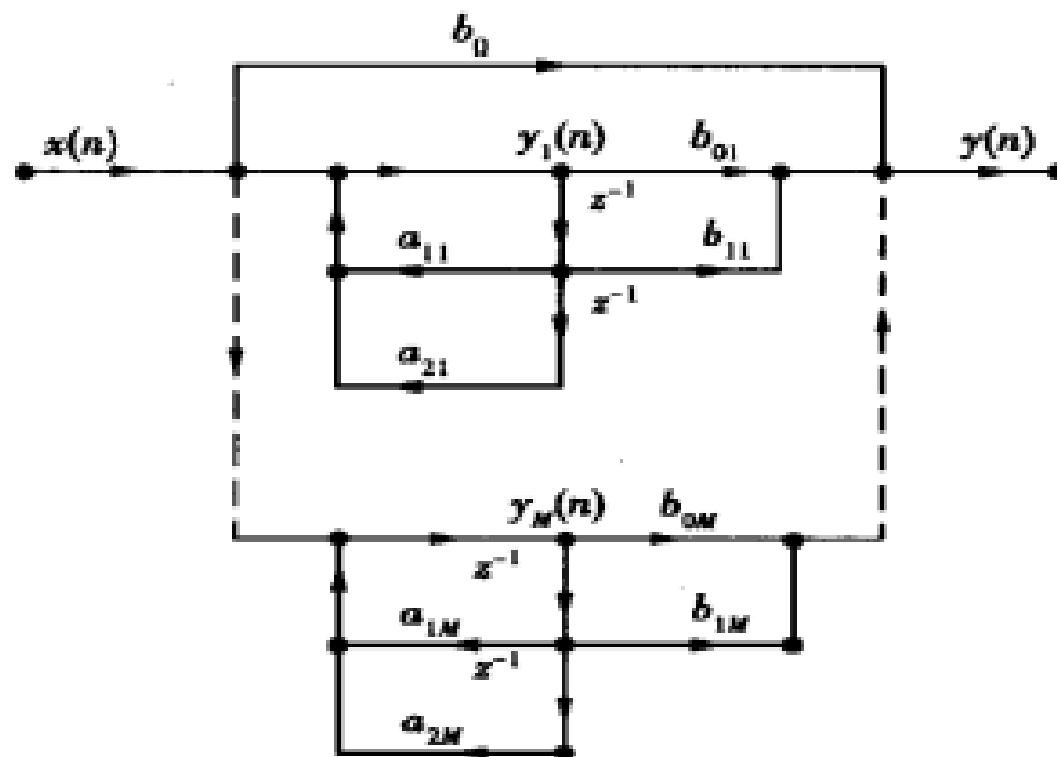


图 5.8 并联型结构 IIR 滤波器

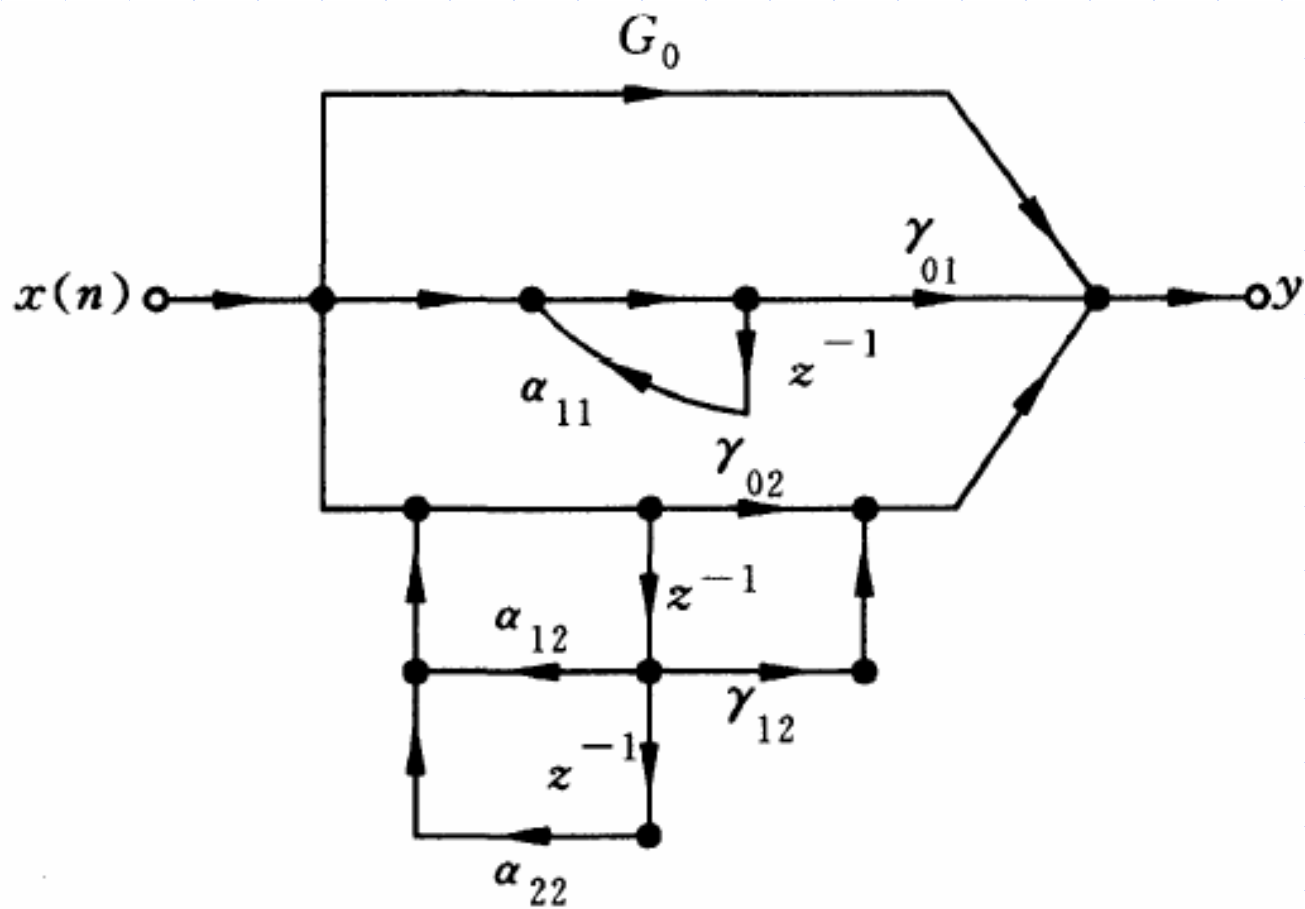


图 5-12 三阶 IIR 滤波器的并联型结构

并联型特点:

各并联基本节间的误差相互没有影响，比级联型的误差稍小。

转置定理:

如果将原网络中所有去路方向倒转, 并将输入 $x(n)$ 和输出 $y(n)$ 相互交换, 则其系统函数 $H(z)$ 不变。

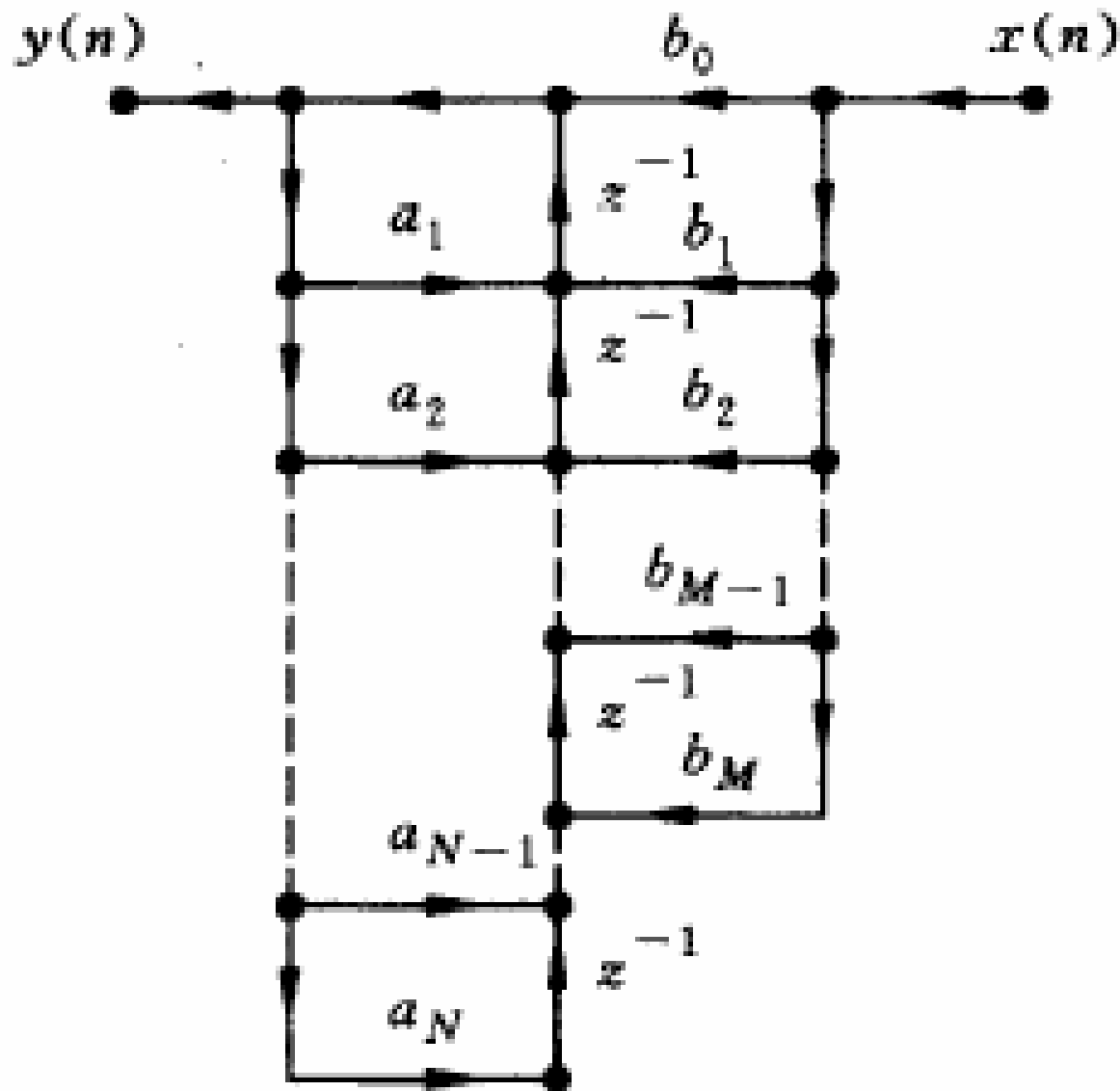


图 5-13 典范型结构的转置

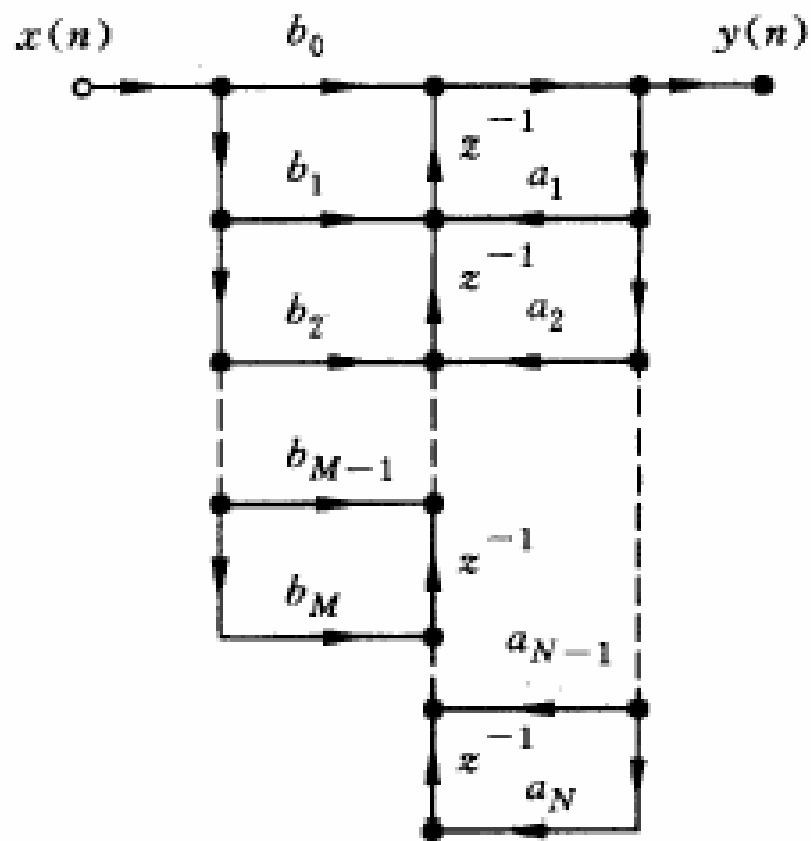


图 5-14 将图 5-13 画成输入在左,输出在右的习惯形式

例：已知一个因果线性移不变滤波器的系统函数为

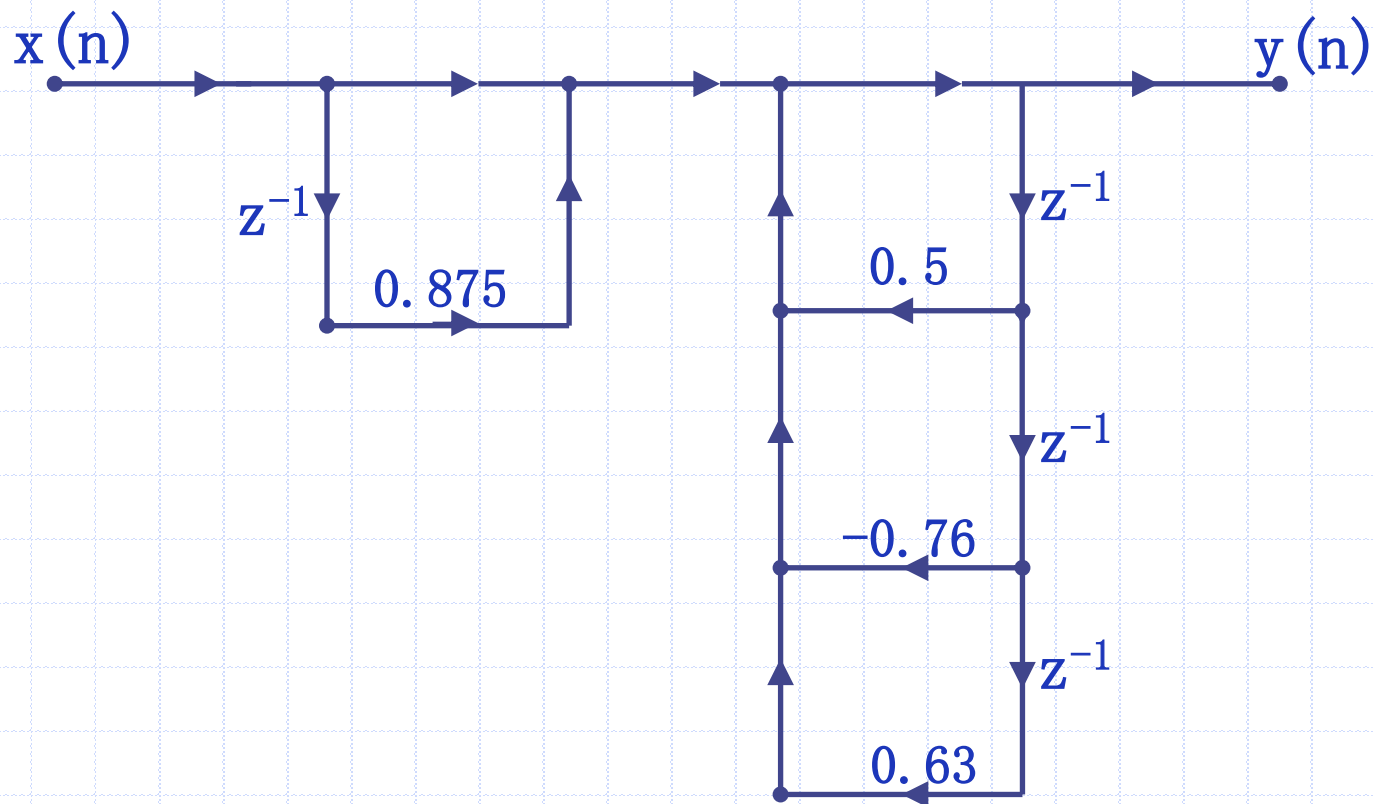
$$H(z) = \frac{1 + 0.875z^{-1}}{(1 + 0.2z^{-1} + 0.9z^{-2})(1 - 0.7z^{-1})}$$

画出该系统以下形式的流图。

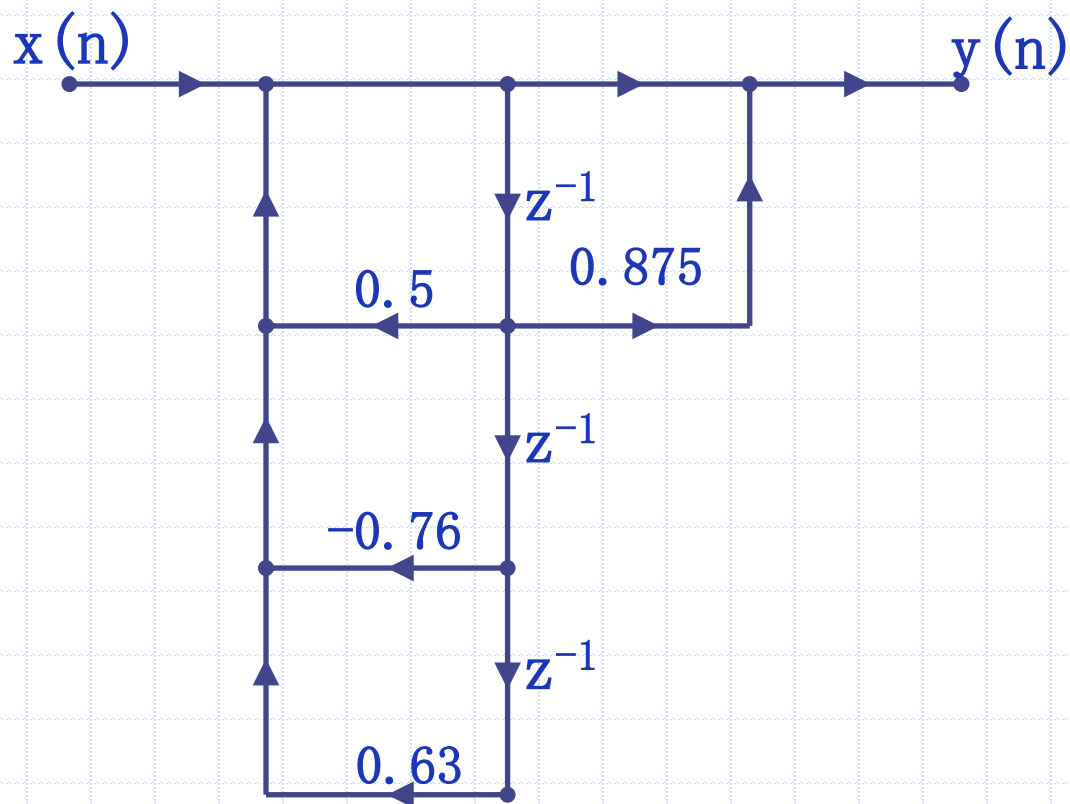
- (1) 直接 I 型
- (2) 直接 II 型
- (3) 级联型
- (4) 并联型

(1) 将系统函数表示为 z^{-1} 的多项式的形式。

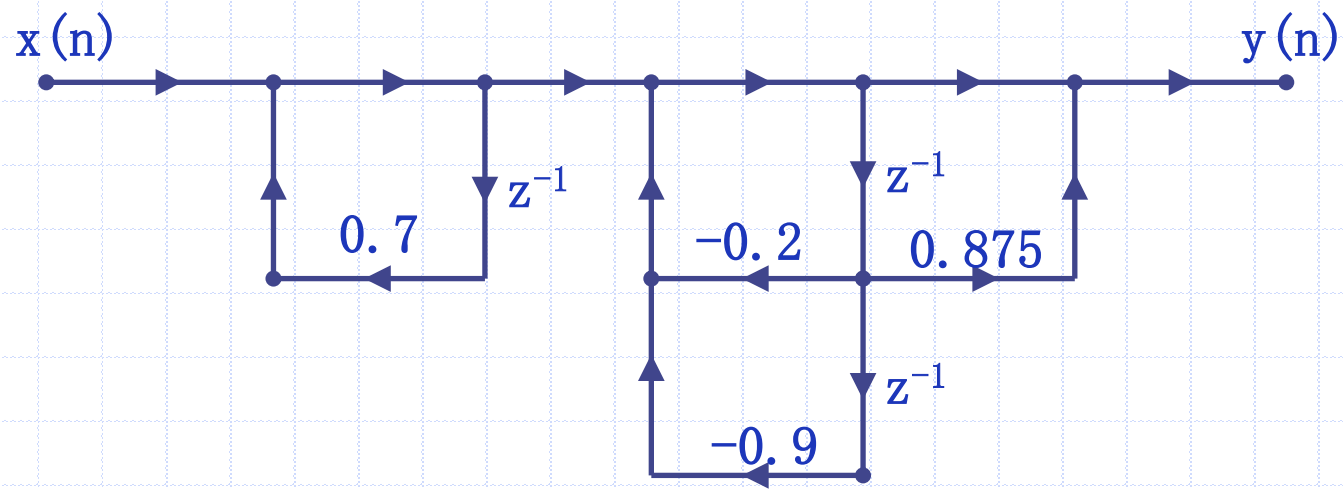
$$H(z) = \frac{1 + 0.875z^{-1}}{1 - 0.5z^{-1} + 0.76z^{-2} - 0.63z^{-3}}$$



(2) 直接 II 型



(3) 级联型



(4) 并联型

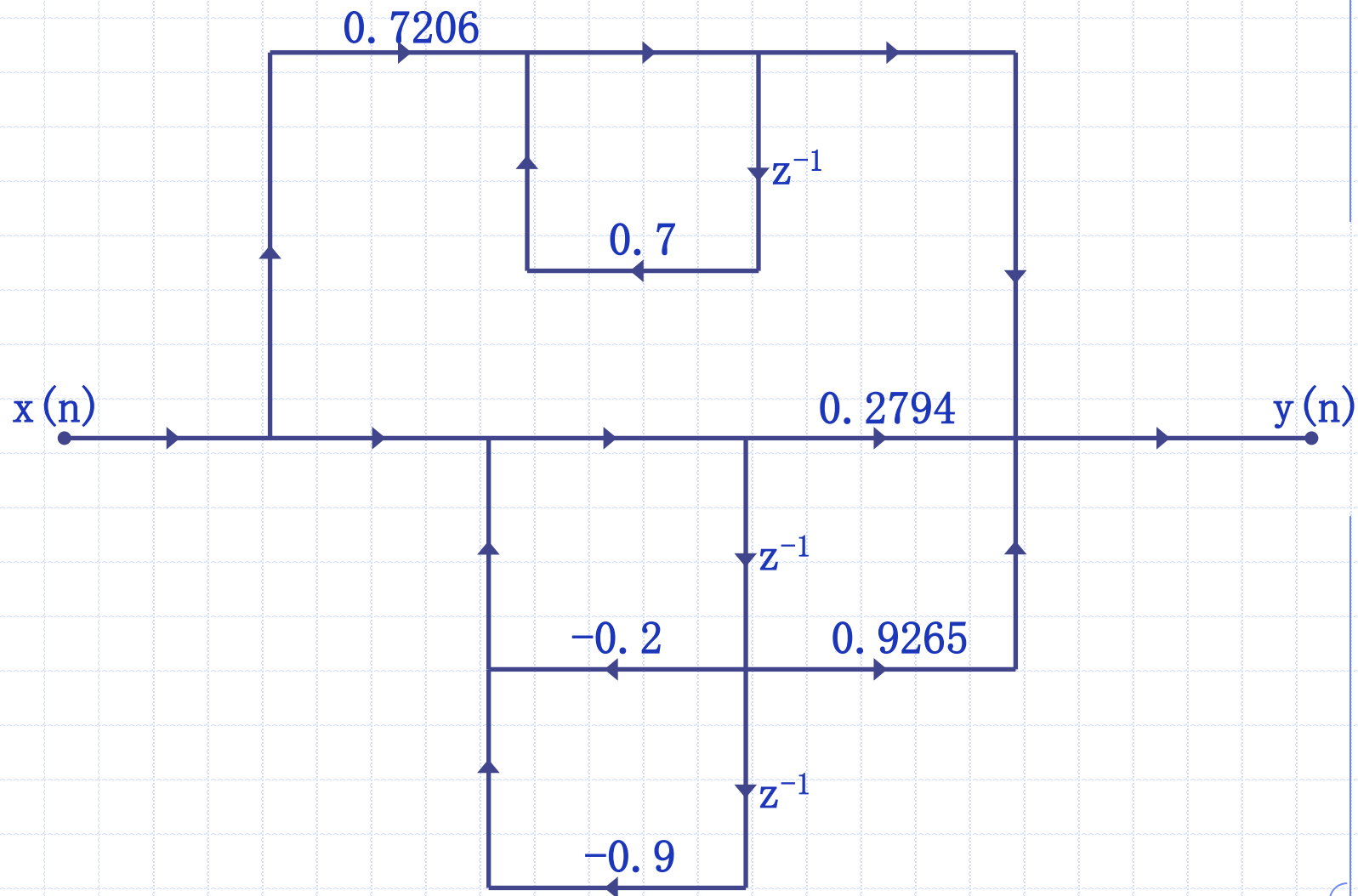
对于并联结构，必须用部分分式展开。

$$\begin{aligned} H(z) &= \frac{1 + 0.875z^{-1}}{(1 + 0.2z^{-1} + 0.9z^{-2})(1 - 0.7z^{-1})} \\ &= \frac{A + Bz^{-1}}{1 + 0.2z^{-1} + 0.9z^{-2}} + \frac{C}{1 - 0.7z^{-1}} \\ &= \frac{(A + C) + (B + 0.2C - 0.7A)z^{-1} + (0.9C - 0.7B)z^{-2}}{(1 + 0.2z^{-1} + 0.9z^{-2})(1 - 0.7z^{-1})} \end{aligned}$$

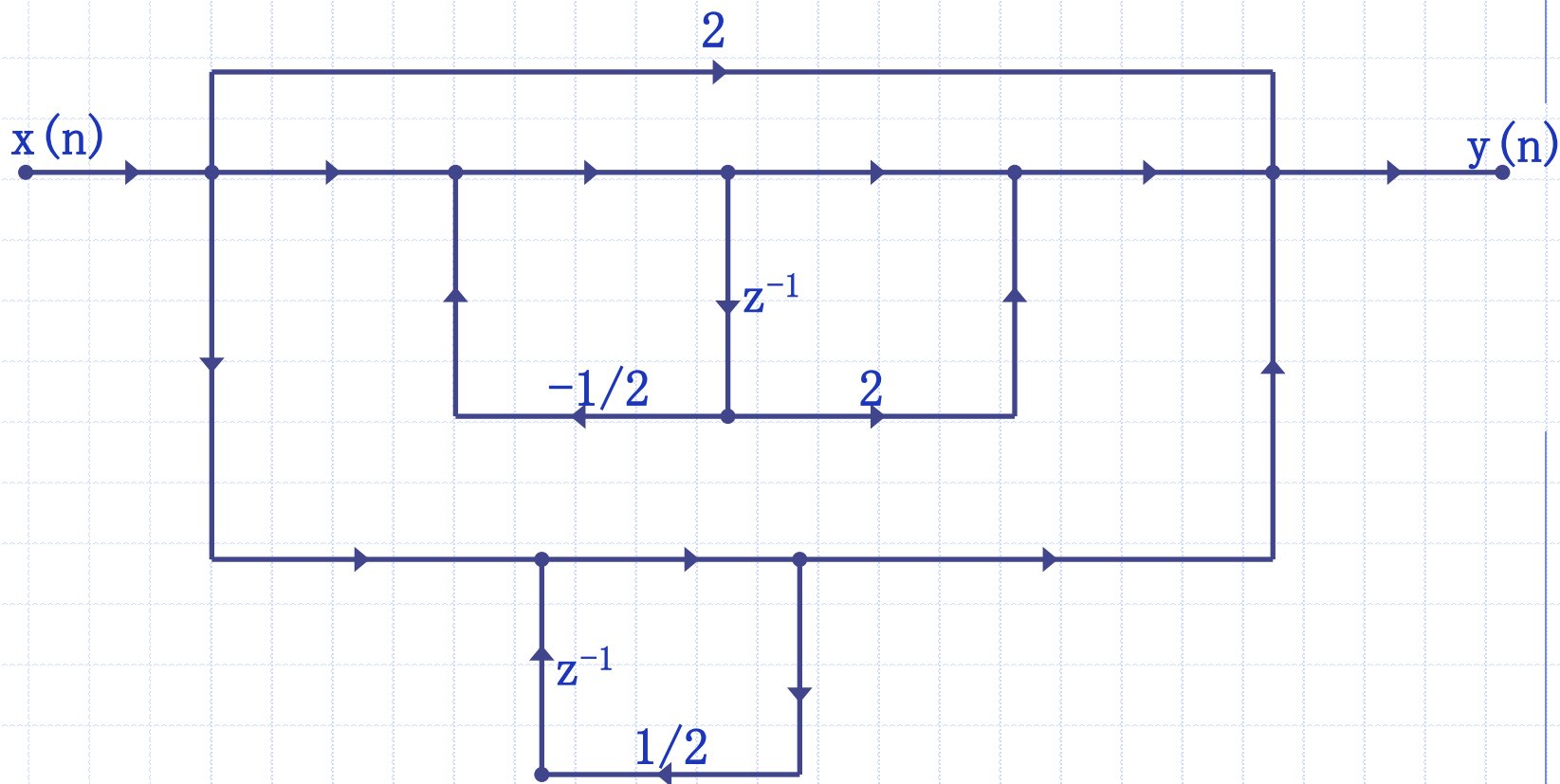
$$\begin{cases} A + C = 1 \\ B + 0.2C - 0.7A = 0.875 \\ 0.9C - 0.7B = 0 \end{cases}$$

$$A = 0.2794 \quad B = 0.9265 \quad C = 0.7206$$

$$H(z) = \frac{0.2794 + 0.9265z^{-1}}{1 + 0.2z^{-1} + 0.9z^{-2}} + \frac{0.7206}{1 - 0.7z^{-1}}$$



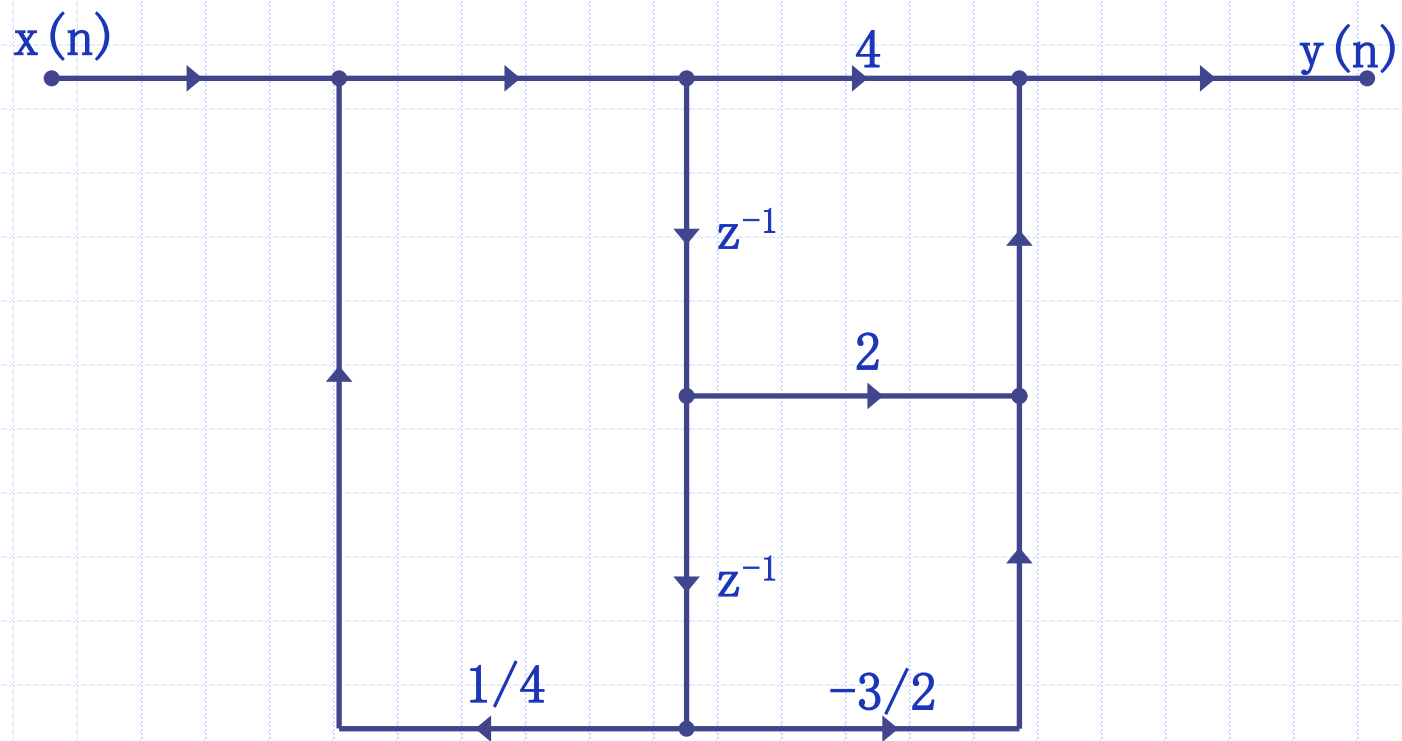
例：求下列网络的系统函数，并画出等价的直接 II 型。



$$H(z) = 2 + \frac{1 + 2z^{-1}}{1 + \frac{1}{2}z^{-1}} + \frac{1}{1 - \frac{1}{2}z^{-1}}$$

$$H(z) = \frac{2\left(1 + \frac{1}{2}z^{-1}\right)\left(1 - \frac{1}{2}z^{-1}\right) + \left(1 + 2z^{-1}\right)\left(1 - \frac{1}{2}z^{-1}\right) + 1 + \frac{1}{2}z^{-1}}{\left(1 + \frac{1}{2}z^{-1}\right)\left(1 - \frac{1}{2}z^{-1}\right)}$$

$$= \frac{4 + 2z^{-1} - \frac{3}{2}z^{-2}}{1 - \frac{1}{4}z^{-2}}$$



5.3 有限长单位冲激响应 (FIR) 滤波器的基本结构

有限长单位冲激响应 $h(n)$ 的特点:

- (1) 系统的单位冲激响应 $h(n)$ 有有限个 n 值处不为零。
- (2) 系统函数 $H(z)$ 在 $|z|>0$ 处收敛, 在 $|z|>0$ 处只有零点, 全部极点都在 $z=0$ 处。
- (3) 主要是非递归结构, 没有输出到输入的反馈。

系统函数为

$$\begin{aligned} H(z) &= \sum_{n=0}^{N-1} h(n) z^{-n} \\ &= h(0) + h(1)z^{-1} + \cdots + h(N-1)z^{-(N-1)} \end{aligned}$$

一、横截型（卷积型、直接型）

系统差分方程为

$$\begin{aligned} y(n] &= \sum_{m=0}^{N-1} h(m)x(n-m) \\ &= h(0)x(n) + h(1)x(n-1) + \cdots + h(N-1)x[n-(N-1)] \end{aligned}$$

是线性移不变系统的卷积和公式，是 $x(n)$ 延时链的横向结构，称为横截型结构或卷积型结构，也可称直接型结构。

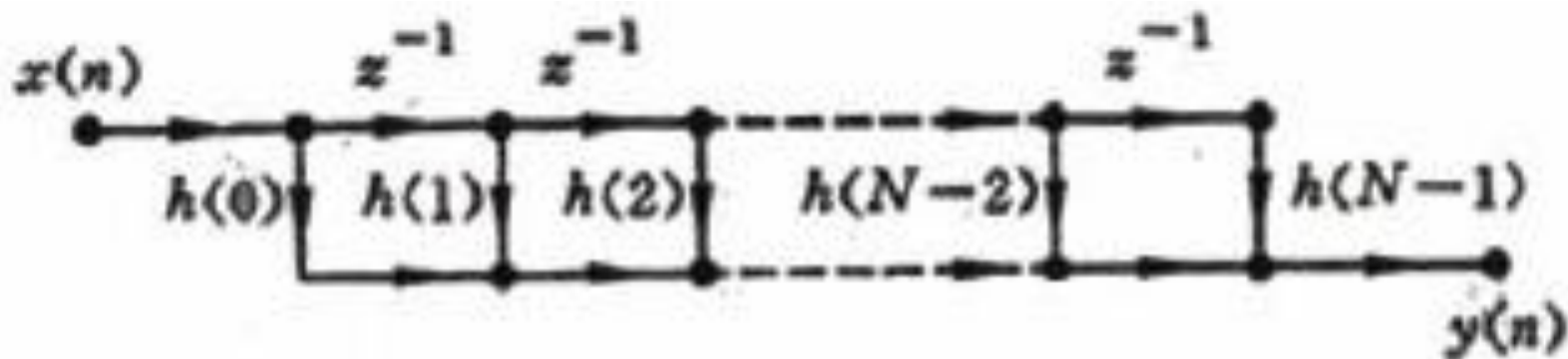


图 5-0 FIR 滤波器的直接型结构

二、级联型

将 $H(z)$ 分解成实二阶因子的乘积形式：

$$H(z) = \sum_{n=0}^{N-1} h(n)z^{-n} = \prod_{k=1}^{\left[\frac{N}{2}\right]} (\beta_{0k} + \beta_{1k}z^{-1} + \beta_{2k}z^{-2})$$

若其中 $[N/2]$ 是取 $N/2$ 的整数部分。

特点：

- (1) 这种结构的每一节控制一对零点，因而在需要控制传输零点时采用。
- (2) 其系数及需要的乘法次数比卷积型多。

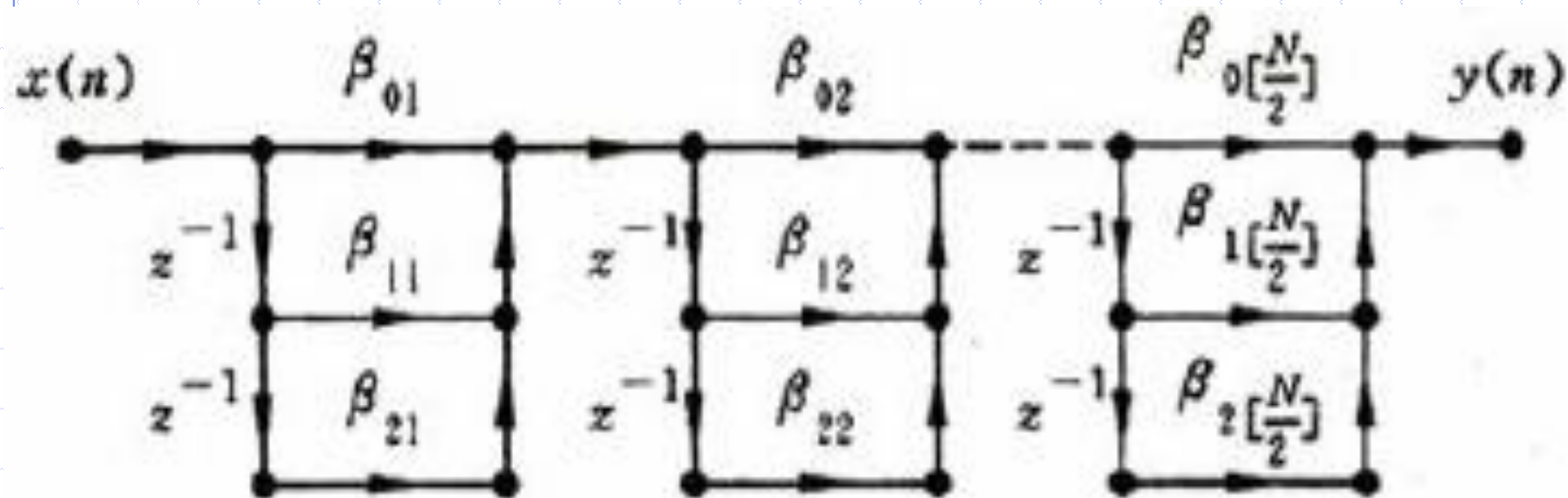


图 5.10 FIR 滤波器的级联型结构 (N 为奇数)

例：一个FIR滤波器的单位采样响应为

$$h(n) = \begin{cases} a^n & 0 \leq n \leq 6 \\ 0 & \text{其他} \end{cases}$$

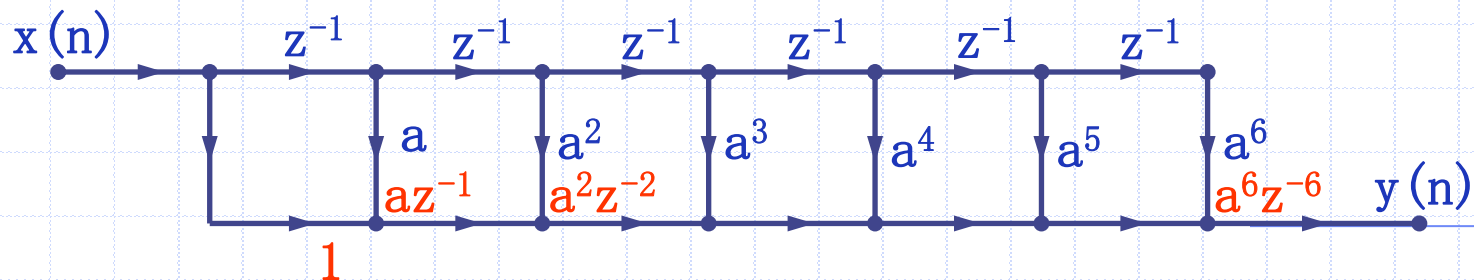
(1) 画出该系统的直接型实现结构

(2) 计算系统函数 $H(z)$, 并利用系统函数画出FIR系统与一个IIR系统级联的结构图。

解：(1)

$$\begin{aligned} H(z) &= \sum_{n=0}^6 h(n) z^{-n} \\ &= 1 + az^{-1} + \cdots + a^6 z^{-6} \end{aligned}$$

直接型实现结构图如下所示：



(2) 系统函数为

$$H(z) = \sum_{n=0}^6 h(n)z^{-n} = \sum_{n=0}^6 a^n z^{-n} = \frac{1 - (az^{-1})^7}{1 - az^{-1}}$$

收敛域为 $|z| > 0$, $H(z)$ 可以用一个 IIR 系统与一个

FIR 系统级联来实现

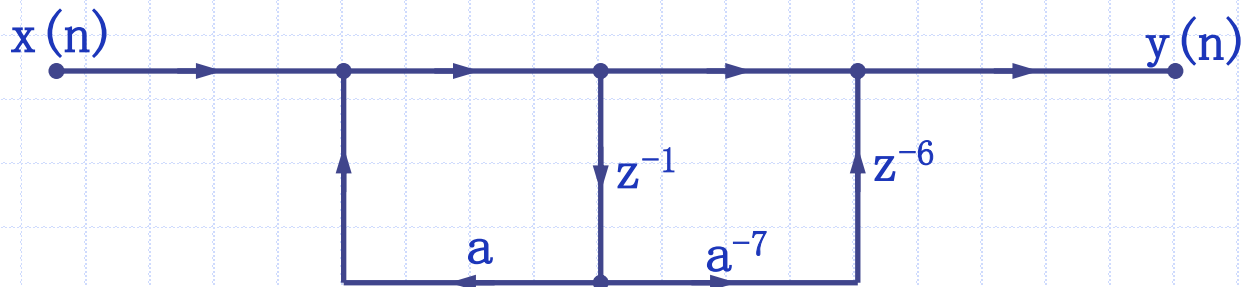
IIR 系统为

$$H_1(z) = \frac{1}{1 - az^{-1}}$$

FIR 系统为

$$H_2(z) = 1 - a^7 z^{-7}$$

因此该系统的另一种实现结构如下:



三、频率抽样型

由 $H(k)$ 表示 $H(z)$ 的内插公式（书P112）

$$H(z) = (1 - z^{-N}) \frac{1}{N} \sum_{k=0}^{N-1} \frac{H(k)}{1 - W_N^{-k} z^{-1}}$$

上述公式提供了两部分级联组成的滤波器结构

$$H(z) = \frac{1}{N} H_c(z) \sum_{k=0}^{N-1} H'_k(z)$$

其中第一部分为

$$H_c(z) = 1 - z^{-N}$$

这是一个FIR子系统，由 N 节延时单元构成的梳状滤波器。

令 $H_c(z) = 1 - z^{-N} = 0$

则有 $z_i = e^{j\frac{2\pi}{N}i} \quad i = 0, 1, \dots, N-1$

它的频率响应为

$$H_c(e^{j\omega}) = 1 - e^{-j\omega N} = 2je^{-j\frac{\omega N}{2}} \sin\left(\frac{\omega N}{2}\right)$$

$$\begin{aligned} 1 - e^{-j\omega N} &= e^{-\frac{j\omega N}{2}} \cdot e^{\frac{j\omega N}{2}} - e^{-\frac{j\omega N}{2}} \cdot e^{-\frac{j\omega N}{2}} \\ &= e^{-\frac{j\omega N}{2}} \left[e^{\frac{j\omega N}{2}} - e^{-\frac{j\omega N}{2}} \right] = 2je^{-\frac{j\omega N}{2}} \left[\frac{e^{\frac{j\omega N}{2}} - e^{-\frac{j\omega N}{2}}}{2j} \right] \\ &= 2je^{-\frac{j\omega N}{2}} \sin\left[\frac{\omega N}{2}\right] \end{aligned}$$

因而幅度响应为

$$|H_c(e^{j\omega})| = 2 \left| \sin\left(\frac{\omega N}{2}\right) \right|$$

相角为

$$\arg[H_c(e^{j\omega})] = \frac{\pi}{2} - \frac{\omega N}{2} + m\pi, \begin{cases} m=0, \omega=0 & \text{to } \frac{2\pi}{N} \\ m=1, \omega=\frac{2\pi}{N} & \text{to } \frac{4\pi}{N} \\ m=m, \omega=\frac{2m\pi}{N} & \text{to } \frac{2(m+1)\pi}{N} \end{cases}$$

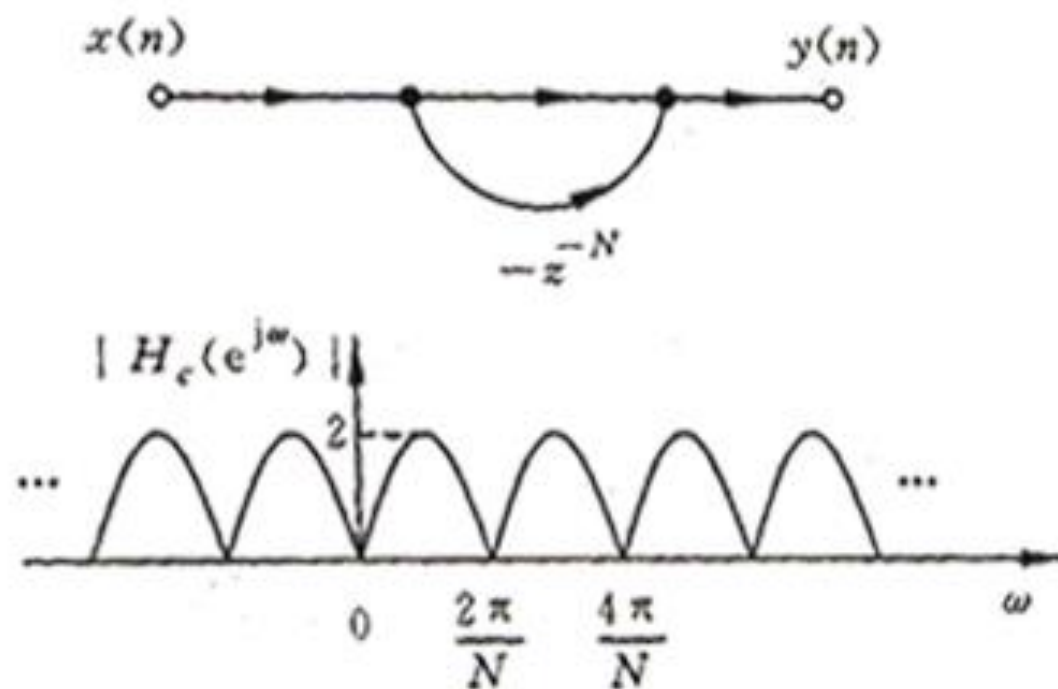


图5-9 梳状滤波器结构及频率响应幅度

级联的第二部分为
$$\sum_{k=0}^{N-1} H'_k(z) = \sum_{k=0}^{N-1} \frac{H(k)}{1 - W_N^{-k} z^{-1}}$$

它是由N个一阶网络并联组成，而这每一个一阶网络都是一个谐振器

$$H'_k(z) = \frac{H(k)}{1 - W_N^{-k} z^{-1}}$$

令 $H'_k(z)$ 的分母为零，即令

$$1 - W_N^{-k} z^{-1} = 0$$

得到一阶网络在单位圆上有一个极点

$$z_k = W_N^{-k} = e^{j\frac{2\pi}{N}k}$$

也就是说，此一阶网络在频率为 $\omega = \frac{2\pi}{N}k$ 处响应为无穷大。

缺点：极点在单位圆上，由系数 W_N^{-k} 决定，当系数量化时，极点会移动，若极点移到Z平面的单位圆外，系统就不稳定了。

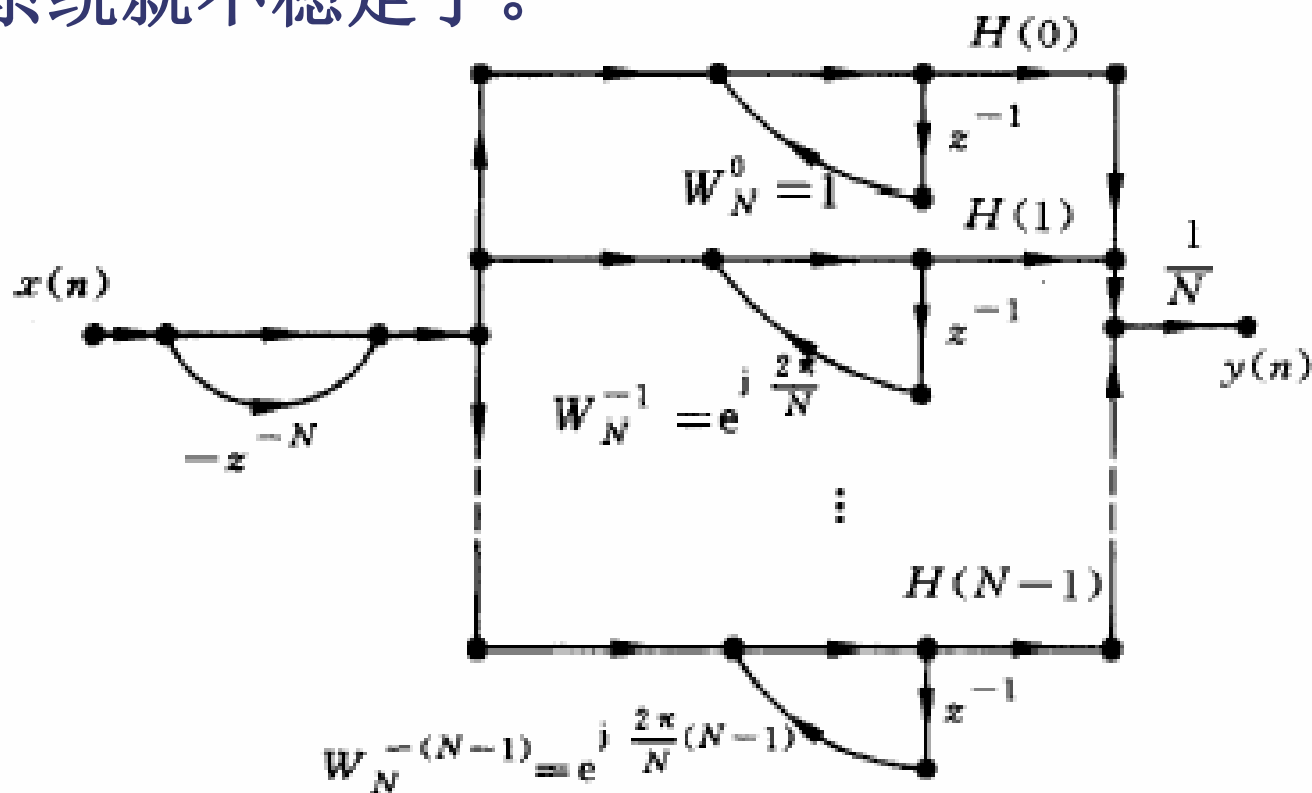


图 5-19 FIR 滤波器的频率抽样型结构

频率抽样结构修正：即将所有零极点都移动到单位圆内某一靠近单位圆、半径为 r 的圆上。

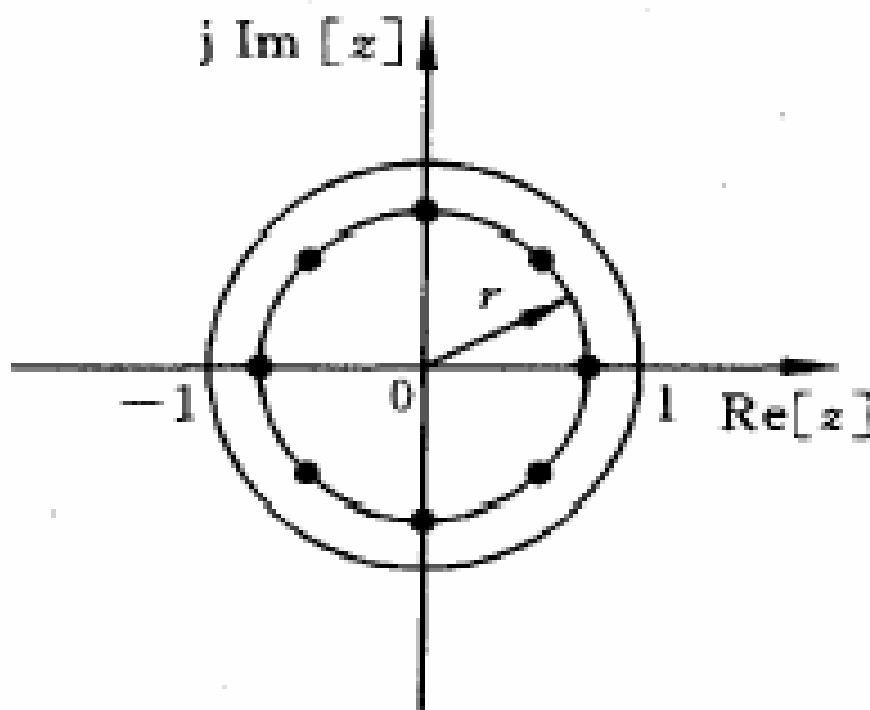
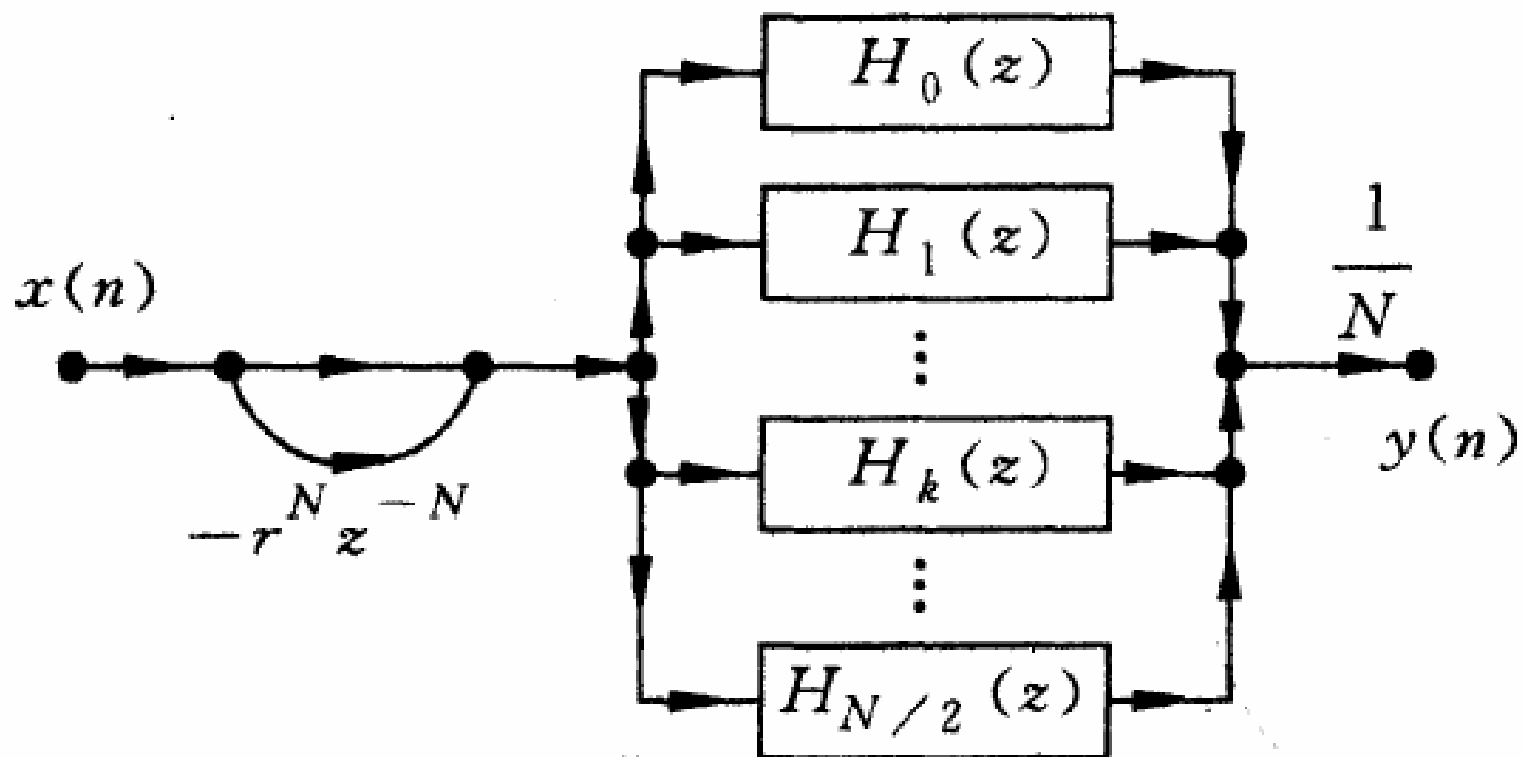


图 5-20 抽样点改到 $r \lesssim 1$ 的圆上



四、快速卷积结构

利用“时域序列的圆周卷积等效于频域的离散频谱的乘积”这一性质。具体方法如下：

1、将 $x(n)$ 和 $h(n)$ 变成 L 点序列，

$$x(n) = \begin{cases} x(n), & 0 \leq n \leq N_1 - 1 \\ 0 & N_1 \leq n \leq L - 1 \end{cases}$$

$$h(n) = \begin{cases} h(n), & 0 \leq n \leq N_2 - 1 \\ 0 & N_2 \leq n \leq L - 1 \end{cases}$$

2、求 $x(n)$ 和 $h(n)$ 各自的 L 点DET

$$X(k) = \text{DET}[x(n)], \quad L \text{点}$$

$$H(k) = \text{DET}[h(n)], \quad L \text{点}$$

3. 将 $X(k)$ 与 $H(k)$ 相乘得 $Y(k)$

4. 求 $Y(k)$ 的 L 点IDET, 得 $y(n)$

$$y(n) = IDET[y(k)] = IDET[X(k)H(k)] = x(n) \otimes h(n)$$

则 L 点的圆周卷积就能代表线性卷积

$$y(n) = x(n) \otimes h(n) = x(n) * h(n) \quad 0 \leq n \leq N_1 + N_2 - 2$$

这就得到图5. 25的快速卷积结构。

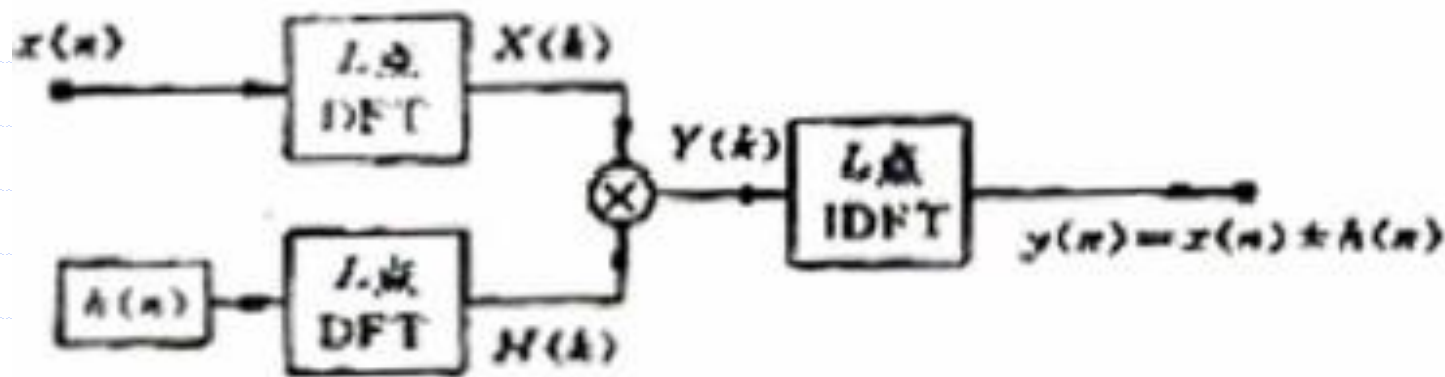


图 5.13 FIR 滤波器的快速卷积结构

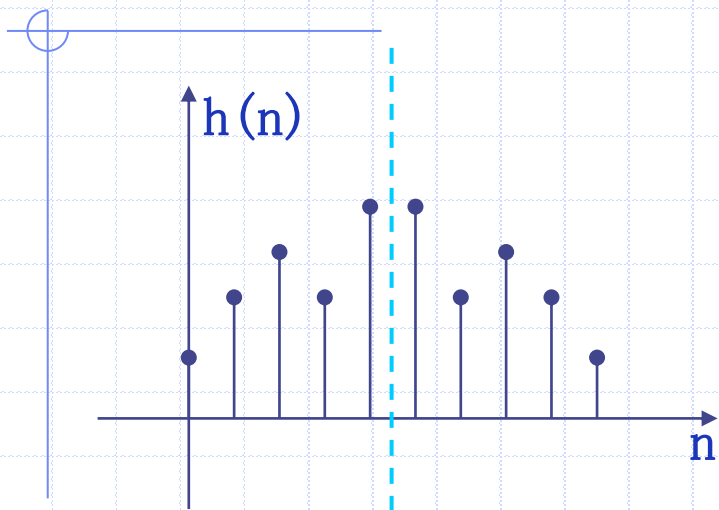
五、线性相位FIR滤波器的结构

如果FIR滤波器单位冲激响应 $h(n)$ 为实数, $0 \leq n \leq N-1$
且满足下列条件

偶对称 $h(n) = h(N-1-n)$

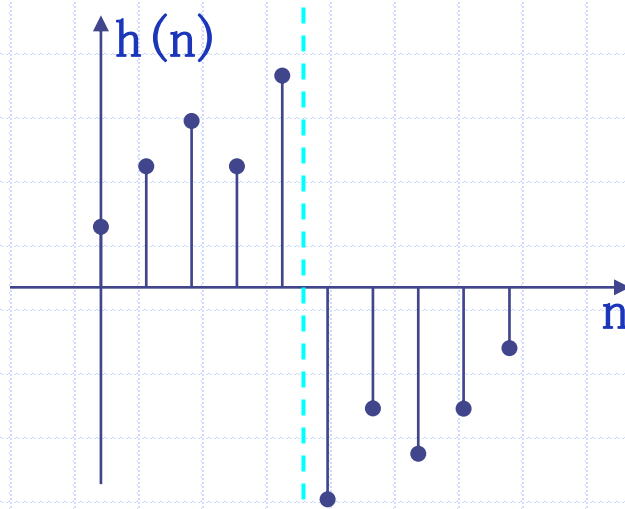
奇对称 $h(n) = -h(N-1-n)$

则其对称中心在 $n = (N-1)/2$, 则其具有严格线性相位。

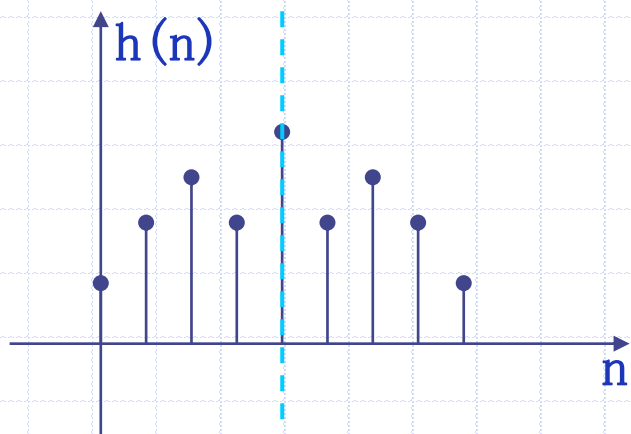


偶对称

N 为偶数, 如图中 $N=10$

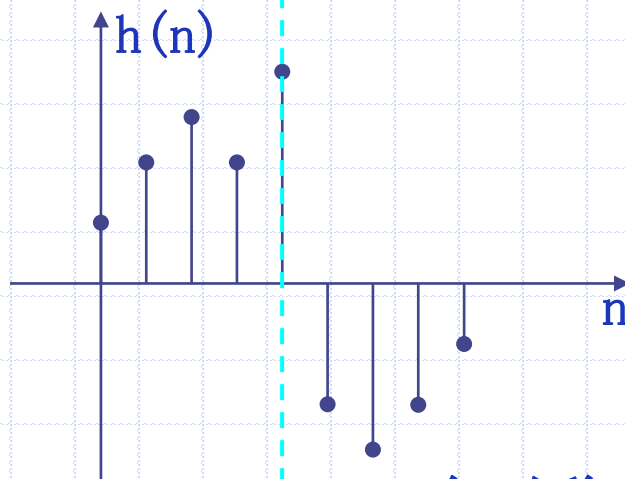


奇对称



偶对称

N 为奇数, 如图中 $N=9$



奇对称

该滤波器结构讨论:

其冲激响应为 $h(n)$, $0 \leq n \leq N-1$, 满足上述对称条件, 其系统函数为

$$H(z) = \sum_{n=0}^{N-1} h(n) z^{-n}$$

当 N 为奇数时

$$H(z) = \sum_{n=0}^{N-1} h(n) z^{-n} = \sum_{n=0}^{\frac{N-1}{2}-1} h(n) z^{-n} + h\left(\frac{N-1}{2}\right) z^{-\frac{N-1}{2}} + \sum_{n=\frac{N-1}{2}+1}^{N-1} h(n) z^{-n}$$

在第二个和式中令 $n=N-1-m$, 再将 m 换成 n , 可得

$$H(z) = \sum_{n=0}^{\frac{N-1}{2}-1} h(n) z^{-n} + h\left(\frac{N-1}{2}\right) z^{-\frac{N-1}{2}} + \sum_{n=0}^{\frac{N-1}{2}-1} h(N-1-n) z^{-(N-1-n)}$$

代入线性相位奇偶对称条件 $h(N-1-n) = \pm h(n)$, 可得

$$H(z) = \sum_{n=0}^{\frac{N-1}{2}-1} h(n) \left[z^{-n} \pm z^{-(N-1-n)} \right] + h\left(\frac{N-1}{2}\right) z^{-\frac{N-1}{2}}$$

可画出 N 为奇数，线性相位FIR滤波器的直接结构的流图。

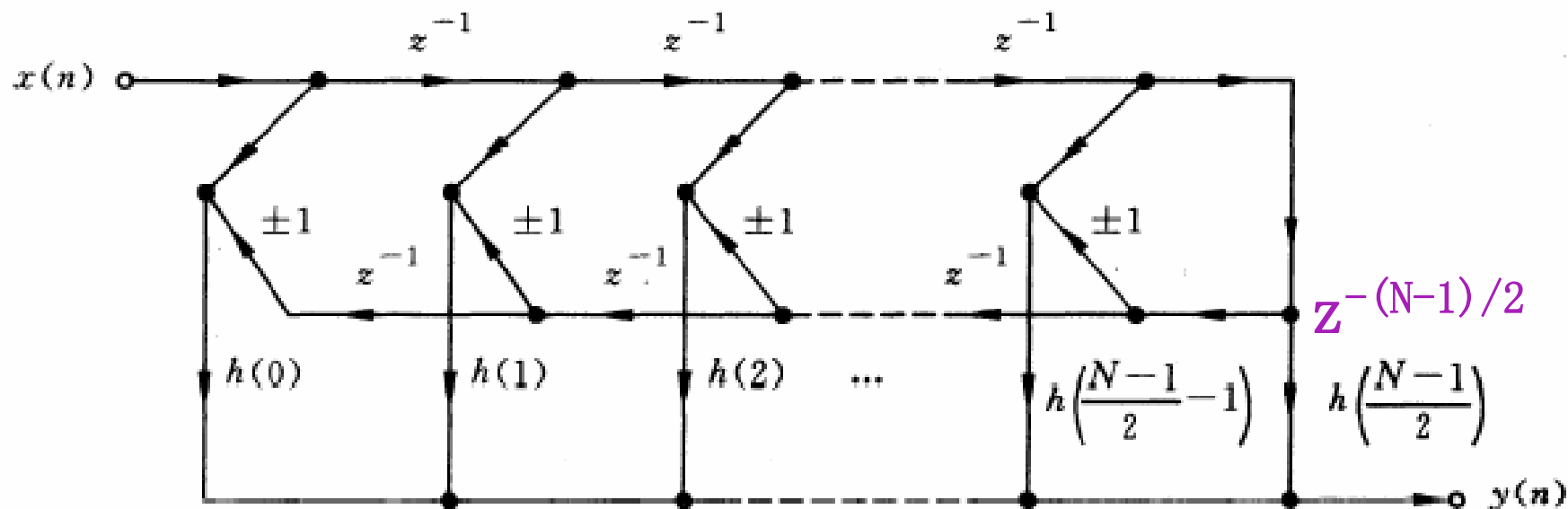


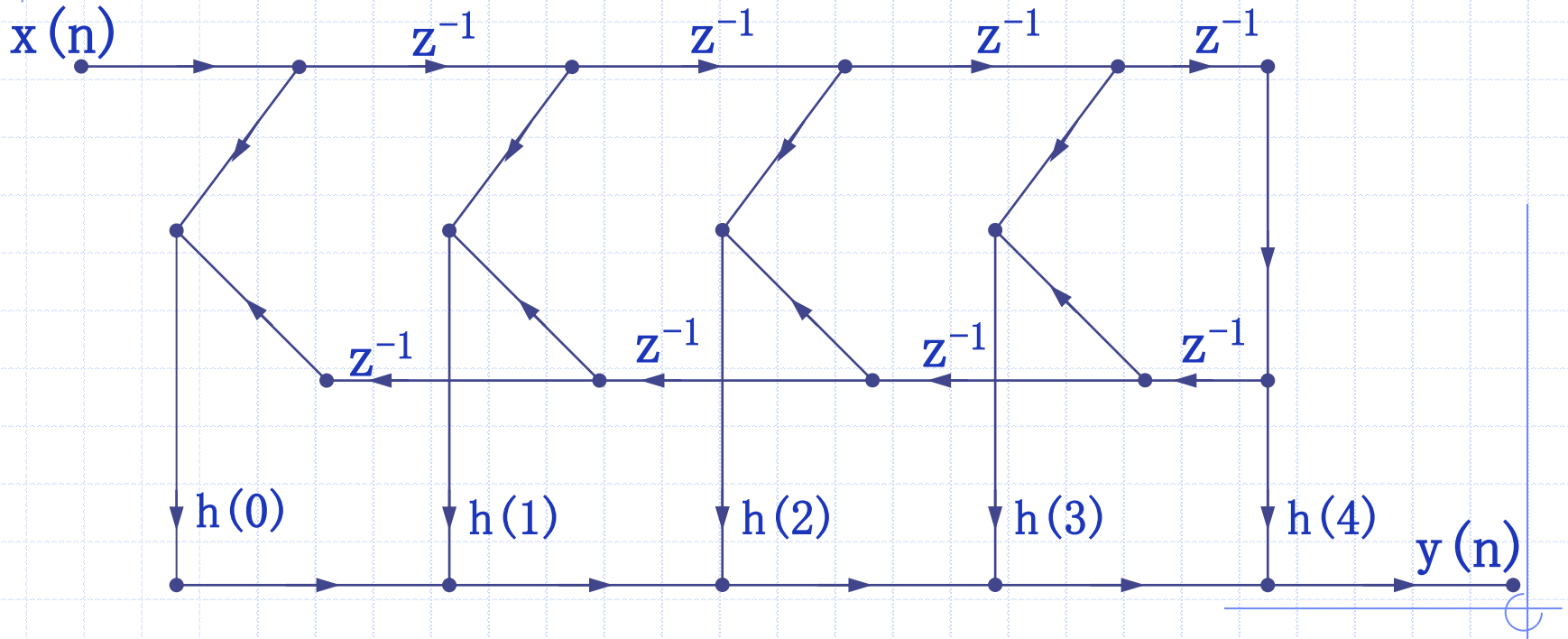
图 5-26 N 为奇数时线性相位 FIR 滤波器的直接型结构

$$\left[\begin{array}{l} h(n) \text{ 偶对称时 } \pm 1 \text{ 取 } +1, \\ h(n) \text{ 奇对称时 } \pm 1 \text{ 取 } -1, \text{ 且 } h\left(\frac{N-1}{2}\right) = 0 \text{ 即 } h\left(\frac{N-1}{2}\right) \text{ 处的连线断开} \end{array} \right]$$



N=9, 偶对称

$$H(z) = \sum_{n=0}^3 h(n) \left[z^{-n} + z^{-(8-n)} \right] + h(4) z^{-4}$$



当N为偶数时

$$H(z) = \sum_{n=0}^{N-1} h(n)z^{-n} = \sum_{n=0}^{(N/2)-1} h(n)z^{-n} + \sum_{n=N/2}^{N-1} h(n)z^{-n}$$

在第二个和式中，令 $n=N-1-m$ ，再将 m 换成 n 可得

$$H(z) = \sum_{n=0}^{(N/2)-1} h(n)z^{-n} + \sum_{n=0}^{(N/2)-1} h(N-1-n)z^{-(N-1-n)}$$

代入线性相位奇偶对称条件可得

$$H(z) = \sum_{n=0}^{(N/2)-1} h(n) \left[z^{-n} \pm z^{-(N-1-n)} \right]$$

该滤波器结构流程图如图5.27所示。

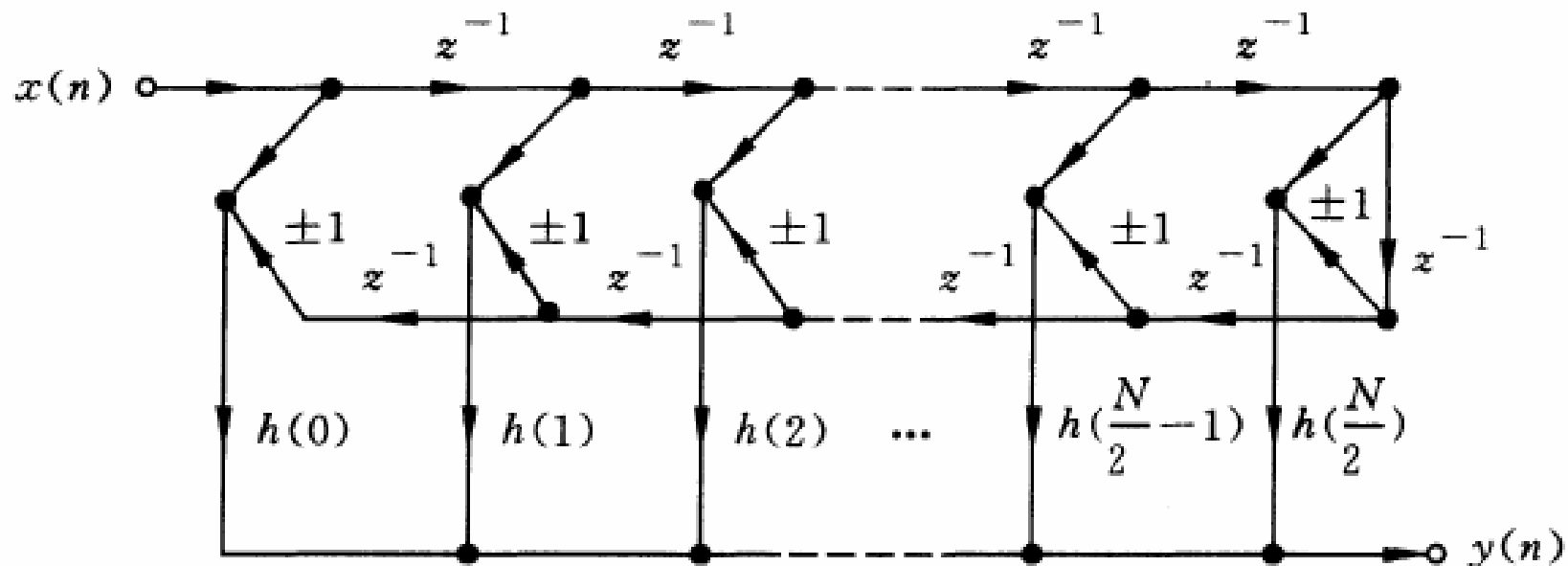


图 5-27 N 为偶数时,线性相位 FIR 滤波器的直接型结构

($h(n)$ 偶对称时 ± 1 取 $+1$, $h(n)$ 奇对称时 ± 1 取 -1)

N=10, 偶对称

$$H(z) = \sum_{n=0}^4 h(n) \left[z^{-n} + z^{-(9-n)} \right]$$

